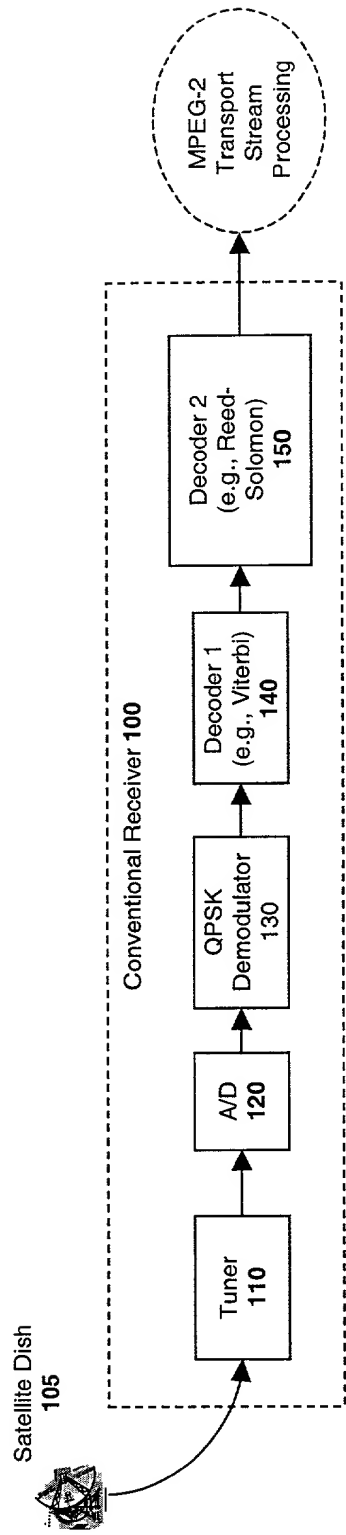
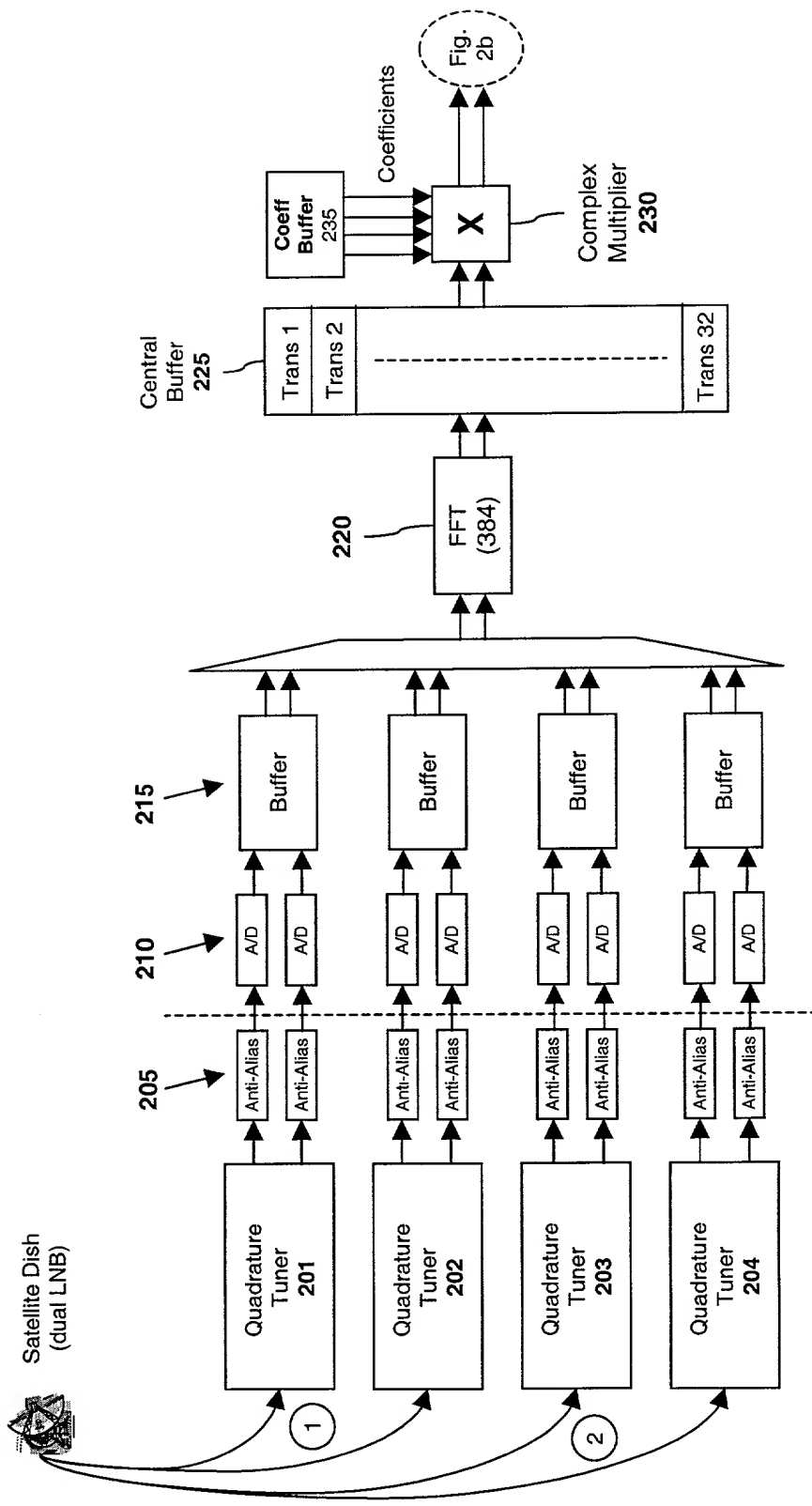


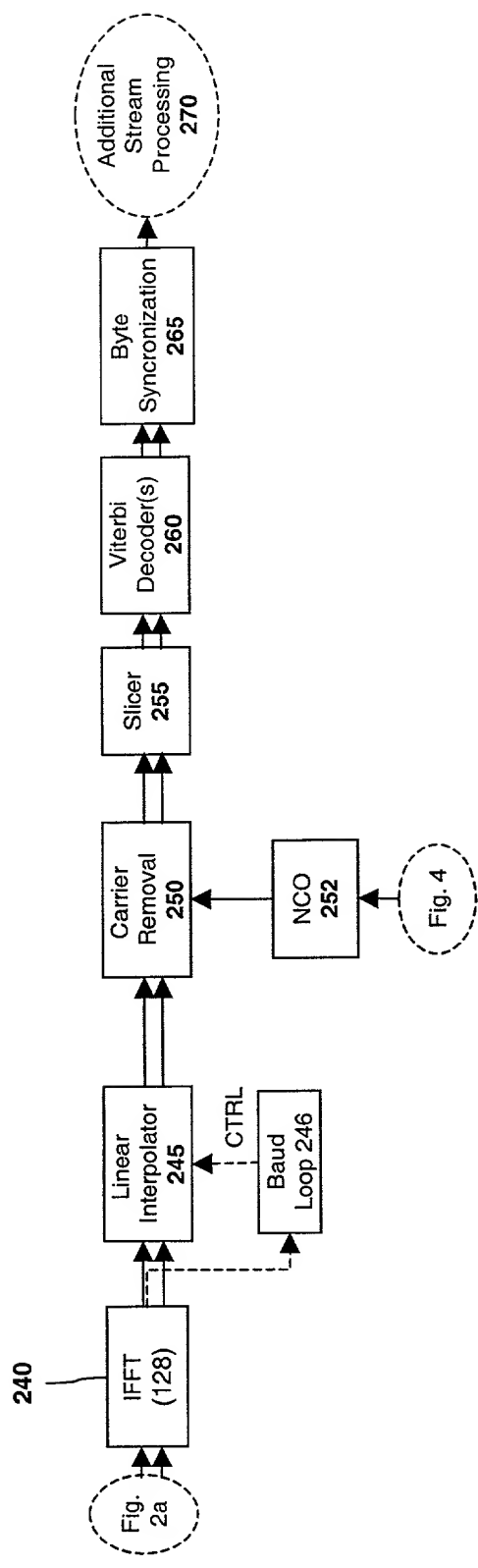
105  
110  
120  
130  
140  
150



**Fig. 1**  
*Prior art*



**Fig. 2a**



**Fig. 2b**

John Doe 1990-01-01 John Doe 1990-01-01

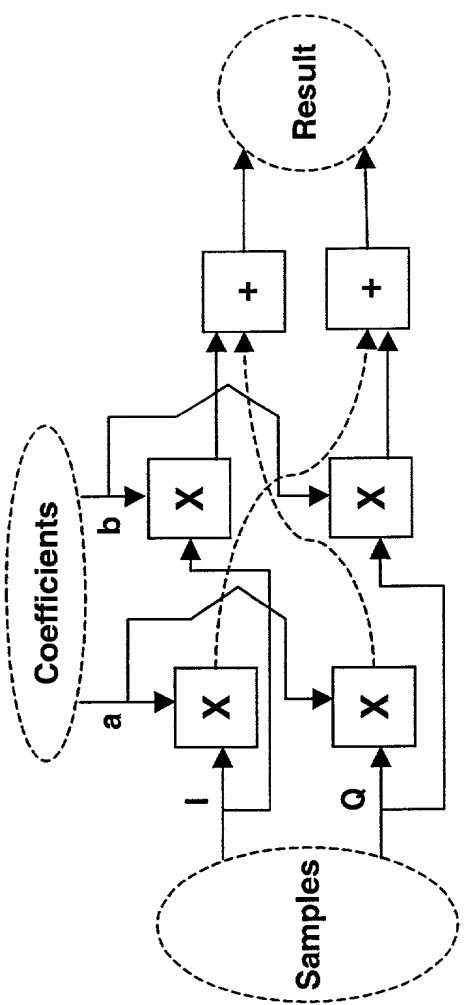


Fig. 3a

*Fig. 3b*

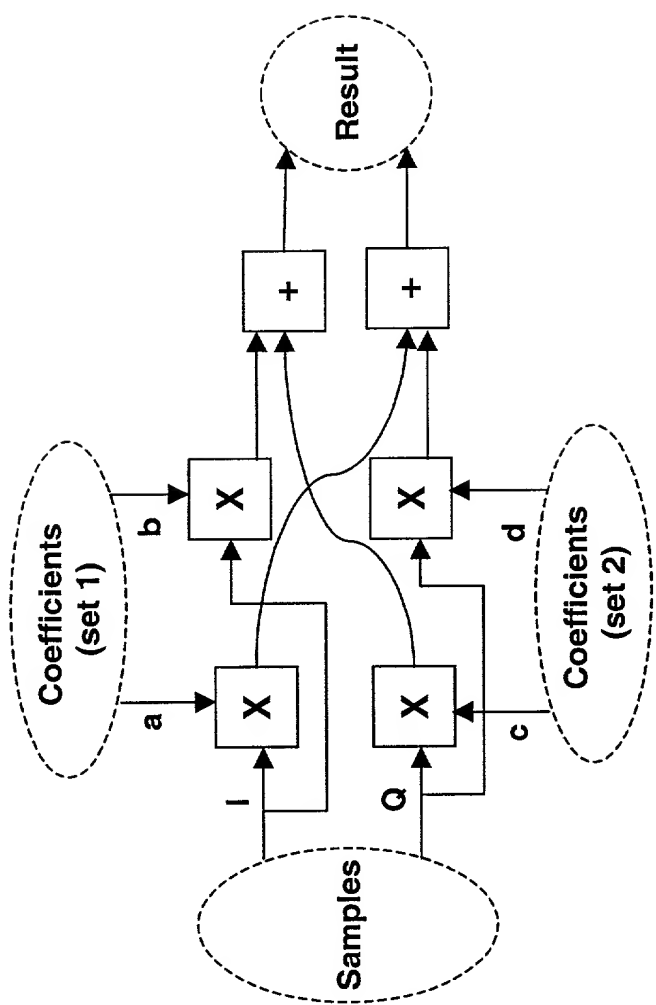
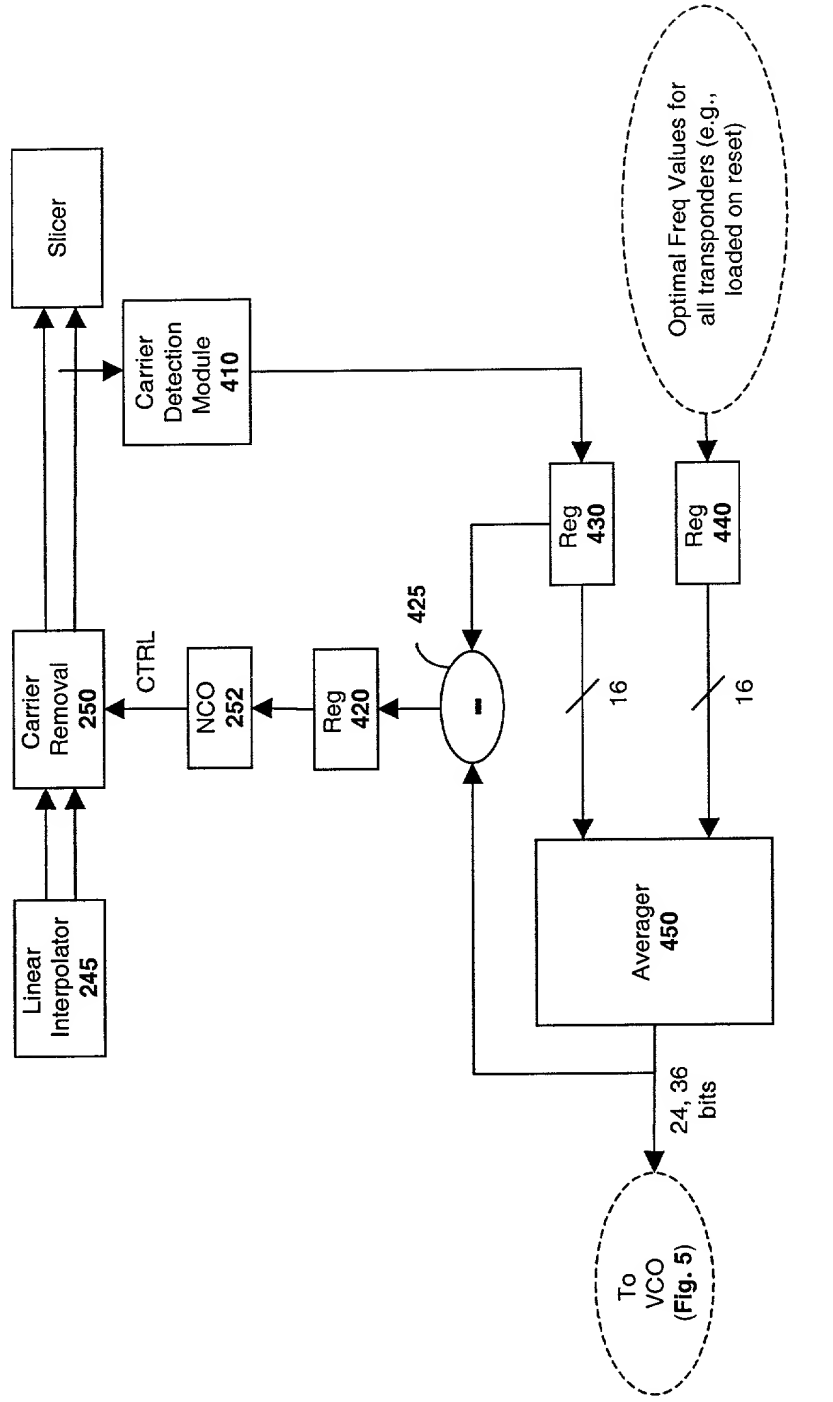
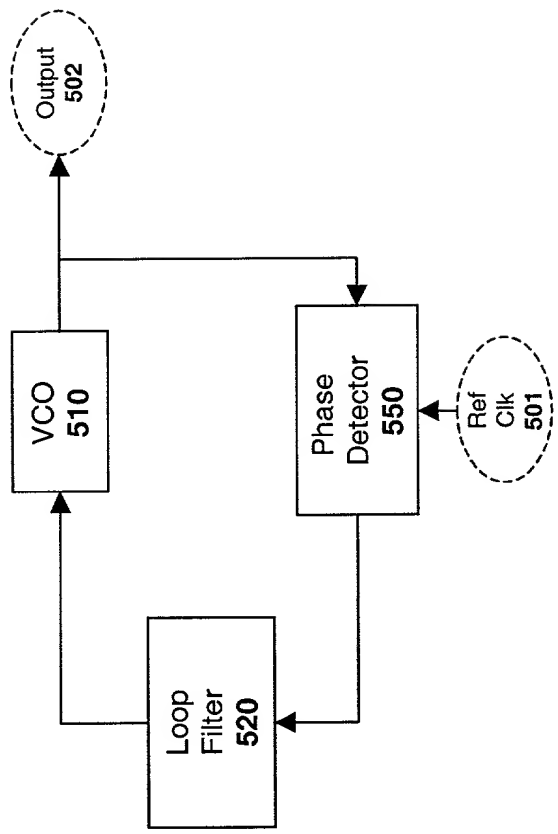


Fig. 4

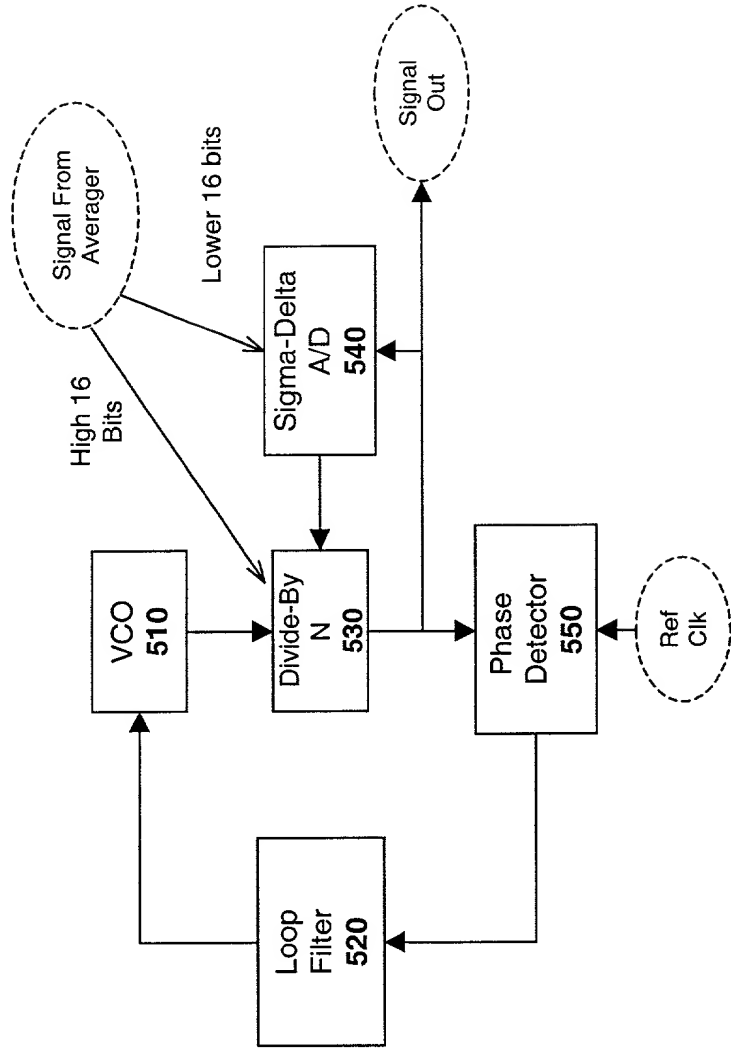


**Fig. 4**

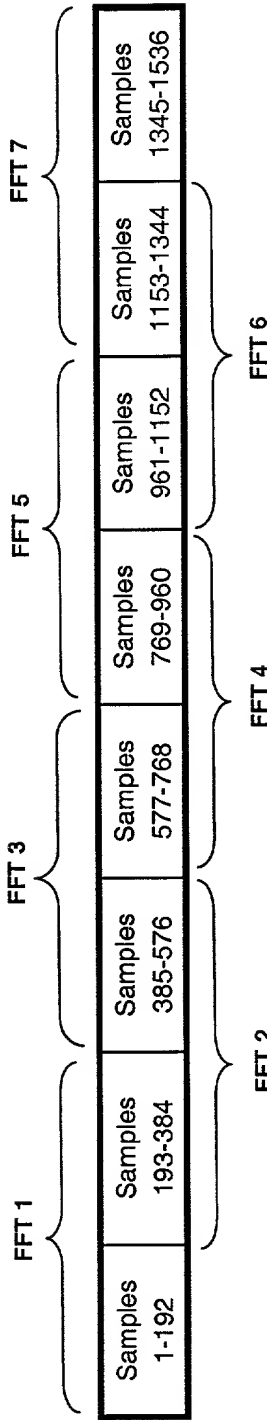
Output  
502



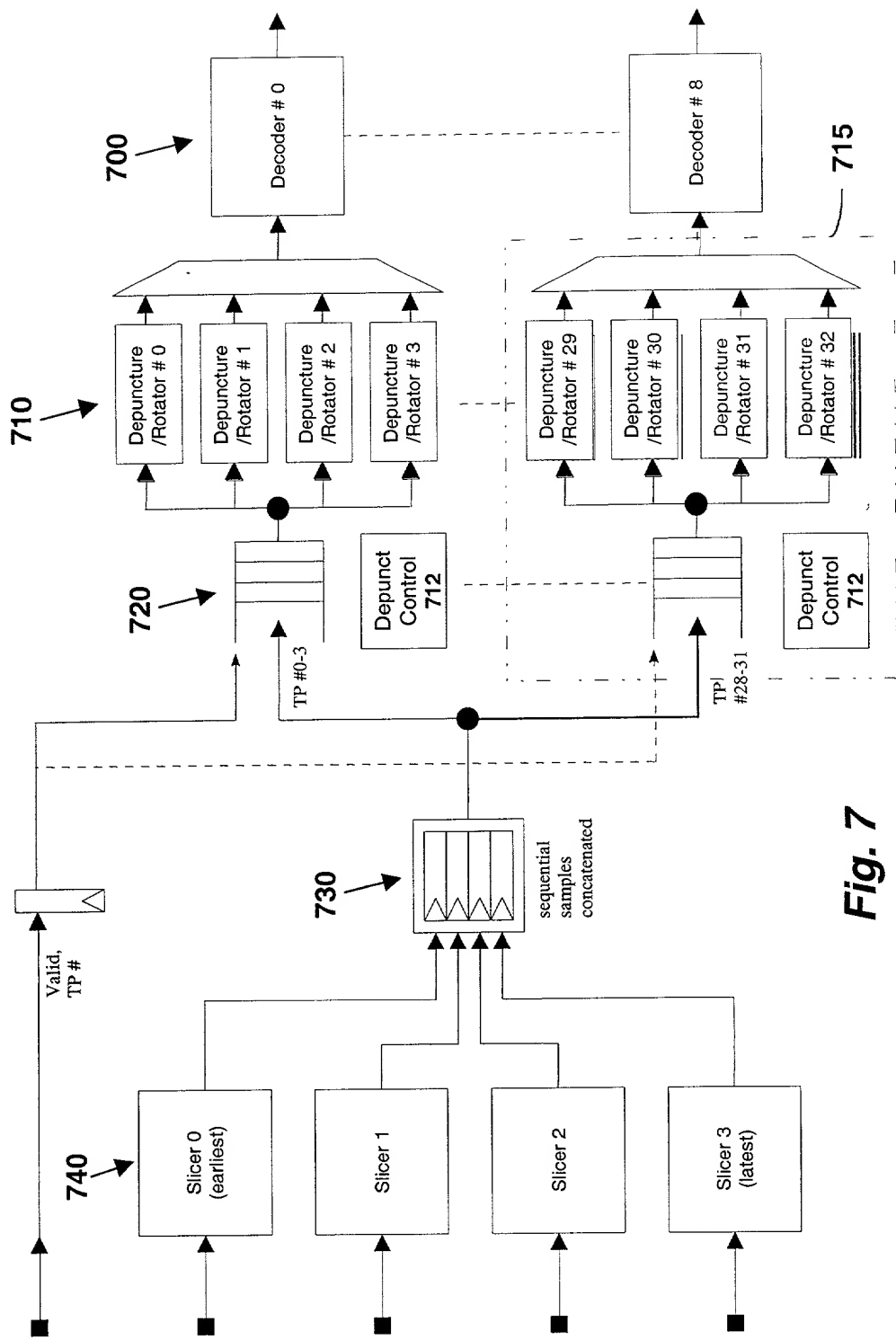
*Fig. 5a*



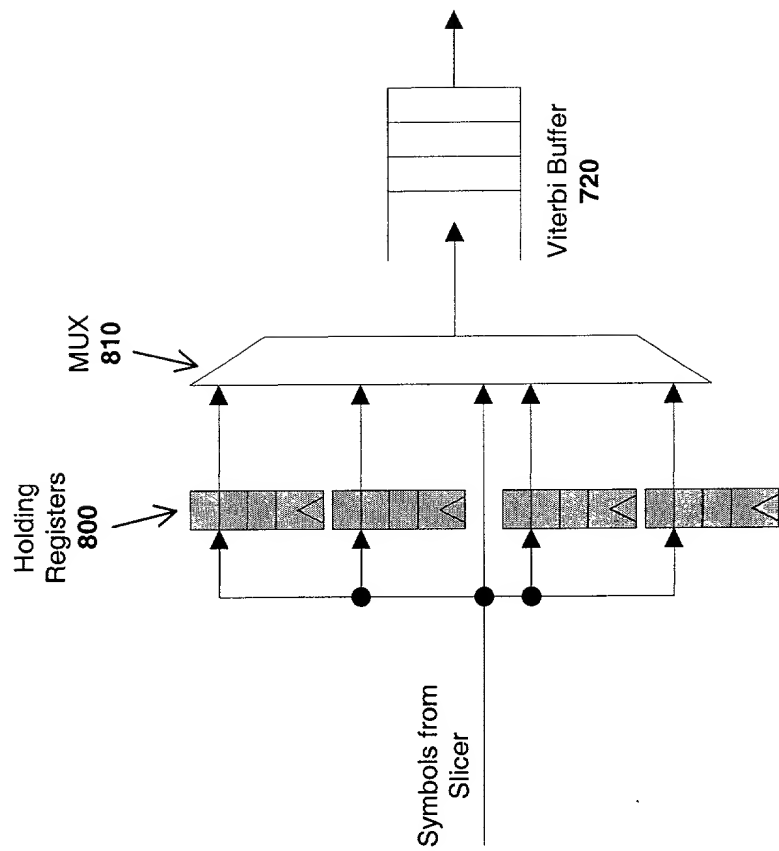
**Fig. 5b**



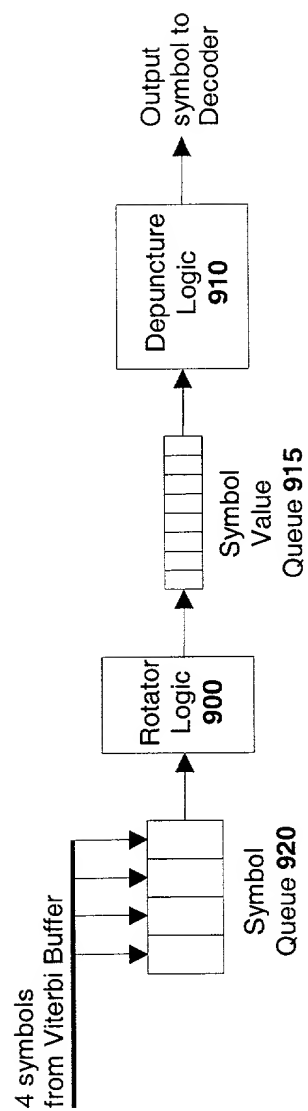
*Fig. 6*  
FFT Input Data



**Fig. 7**



**Fig. 8**



**Fig. 9**

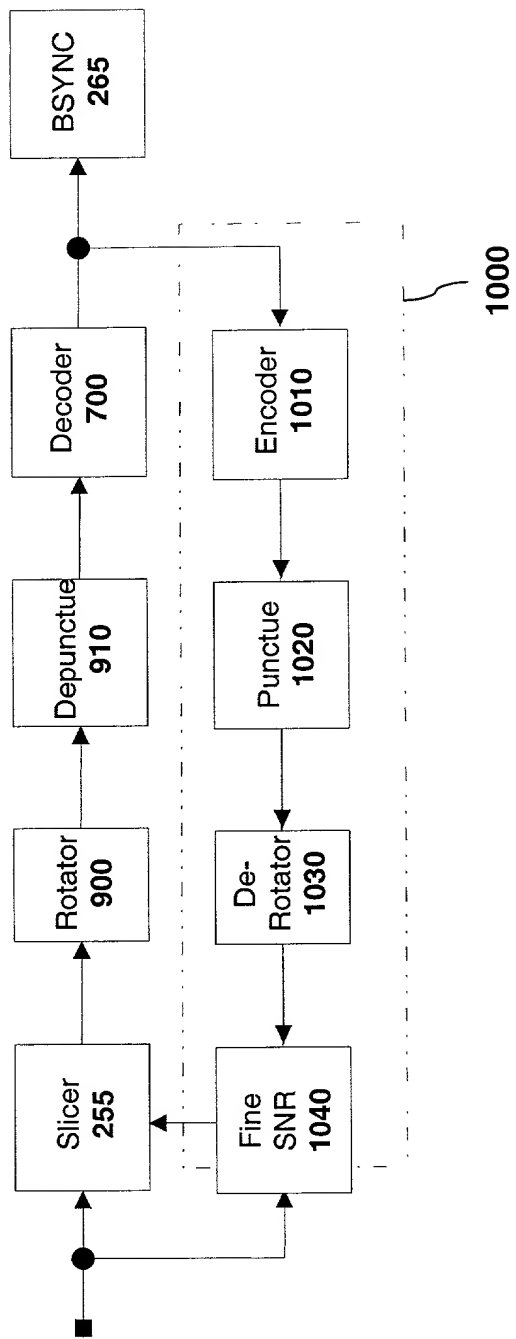
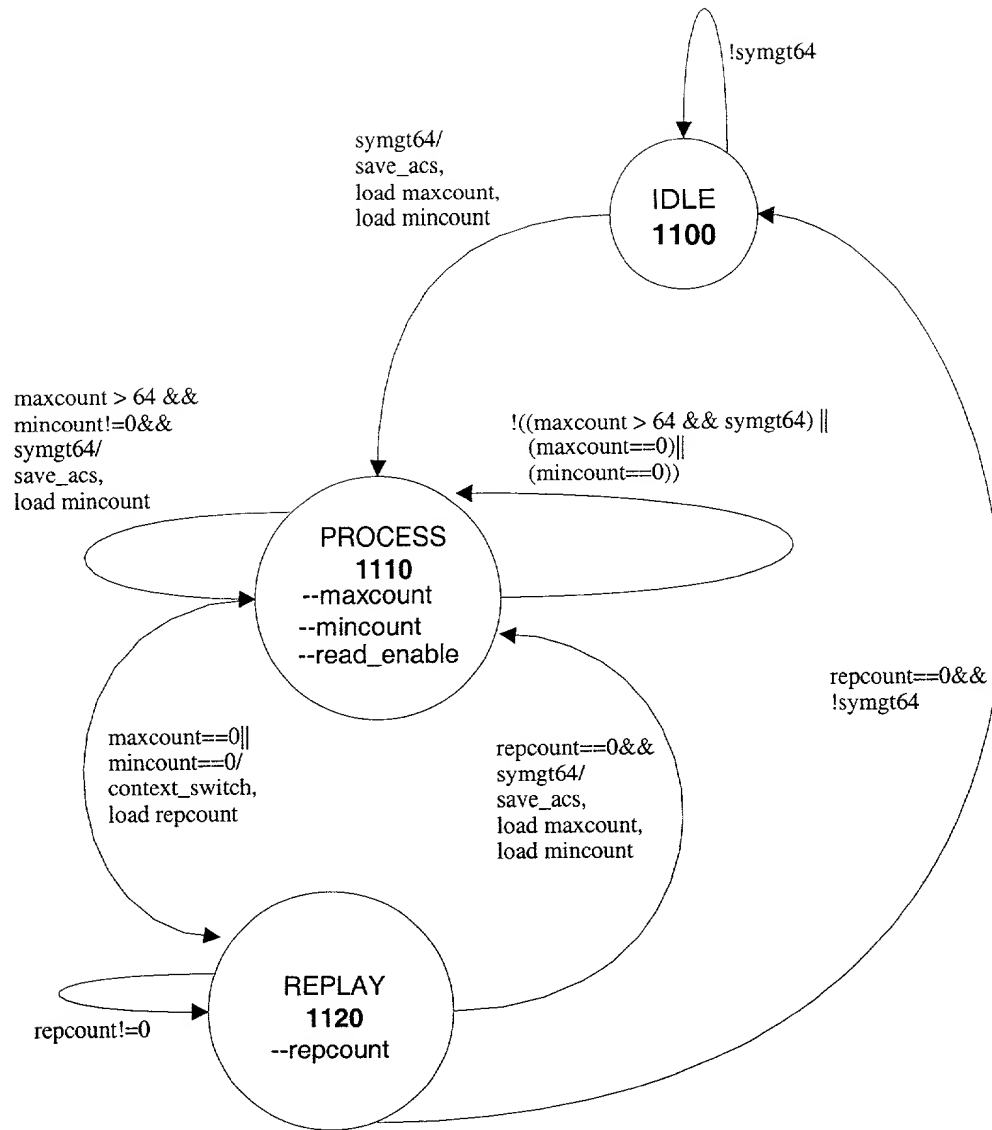
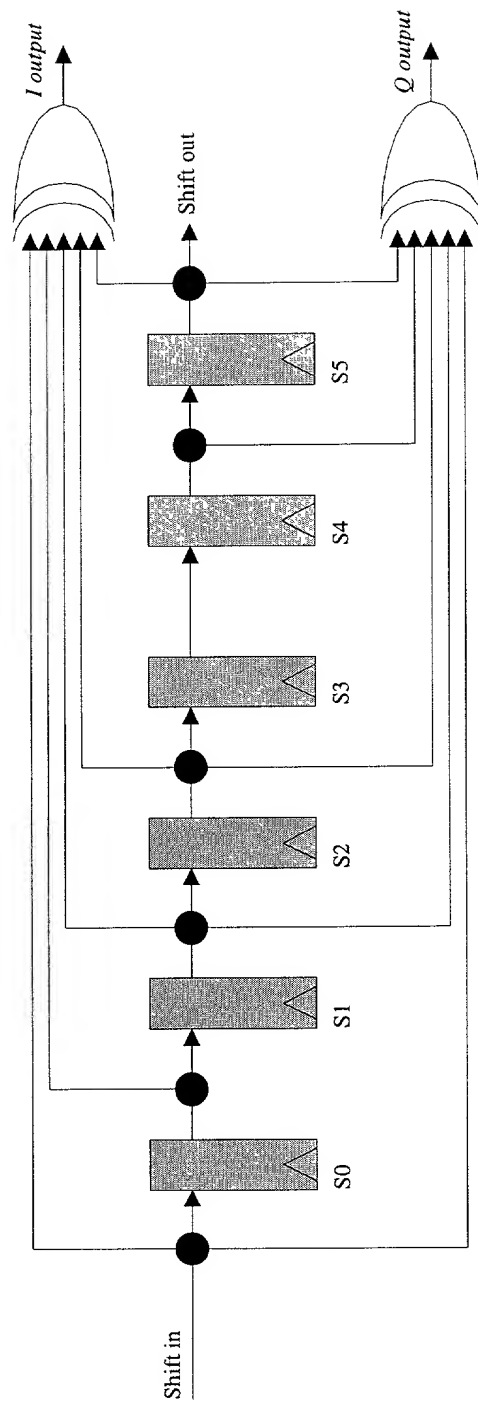


Fig. 10



**Fig. 11**



*Fig. 12*

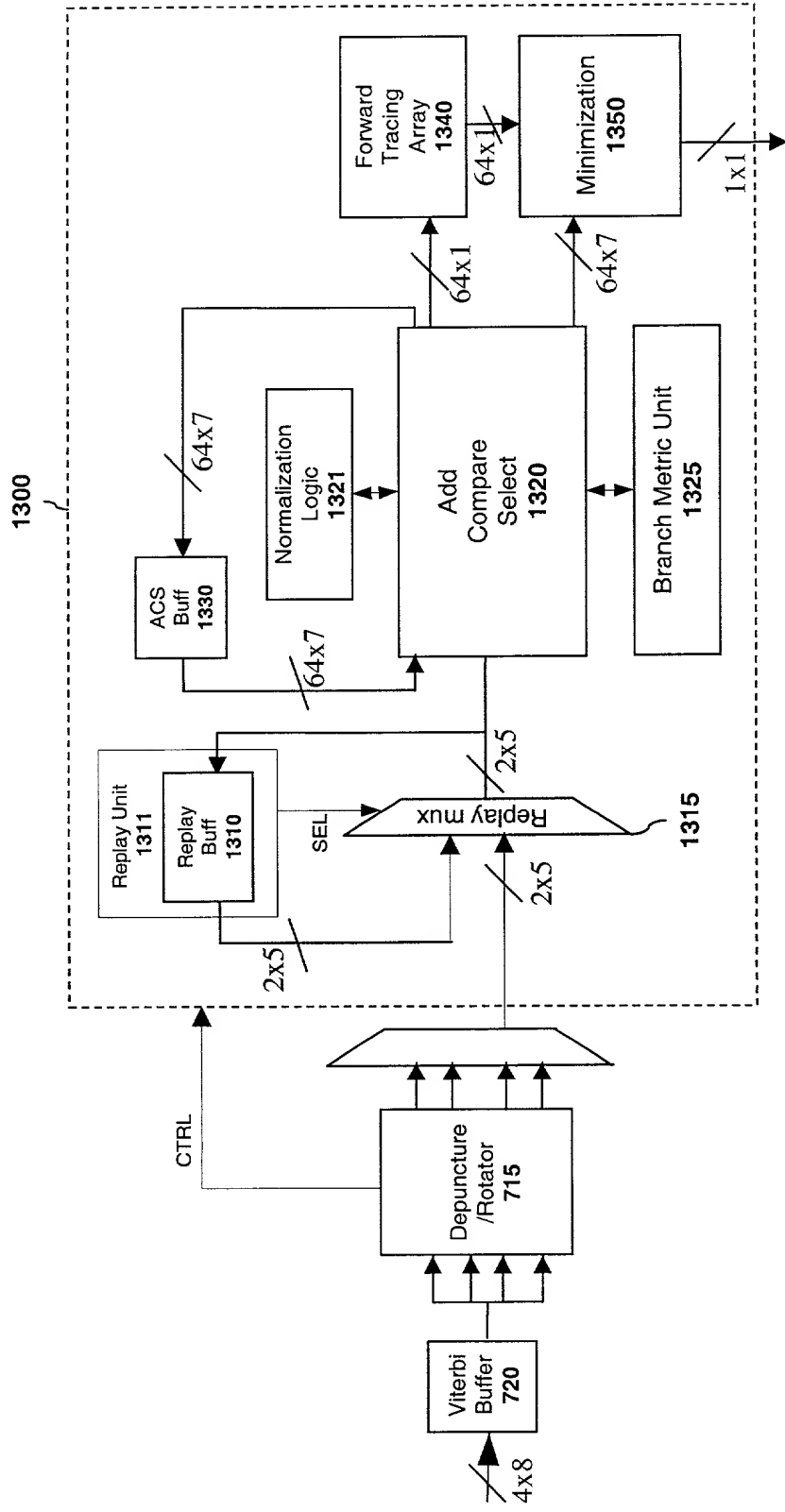
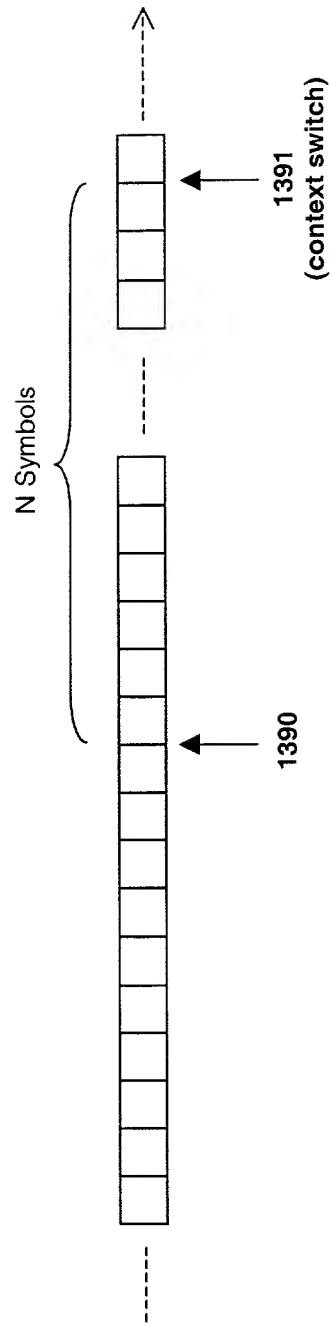


Fig. 13a

1390      1391      1392      1393      1394      1395      1396      1397      1398



*Fig. 13b*

1420

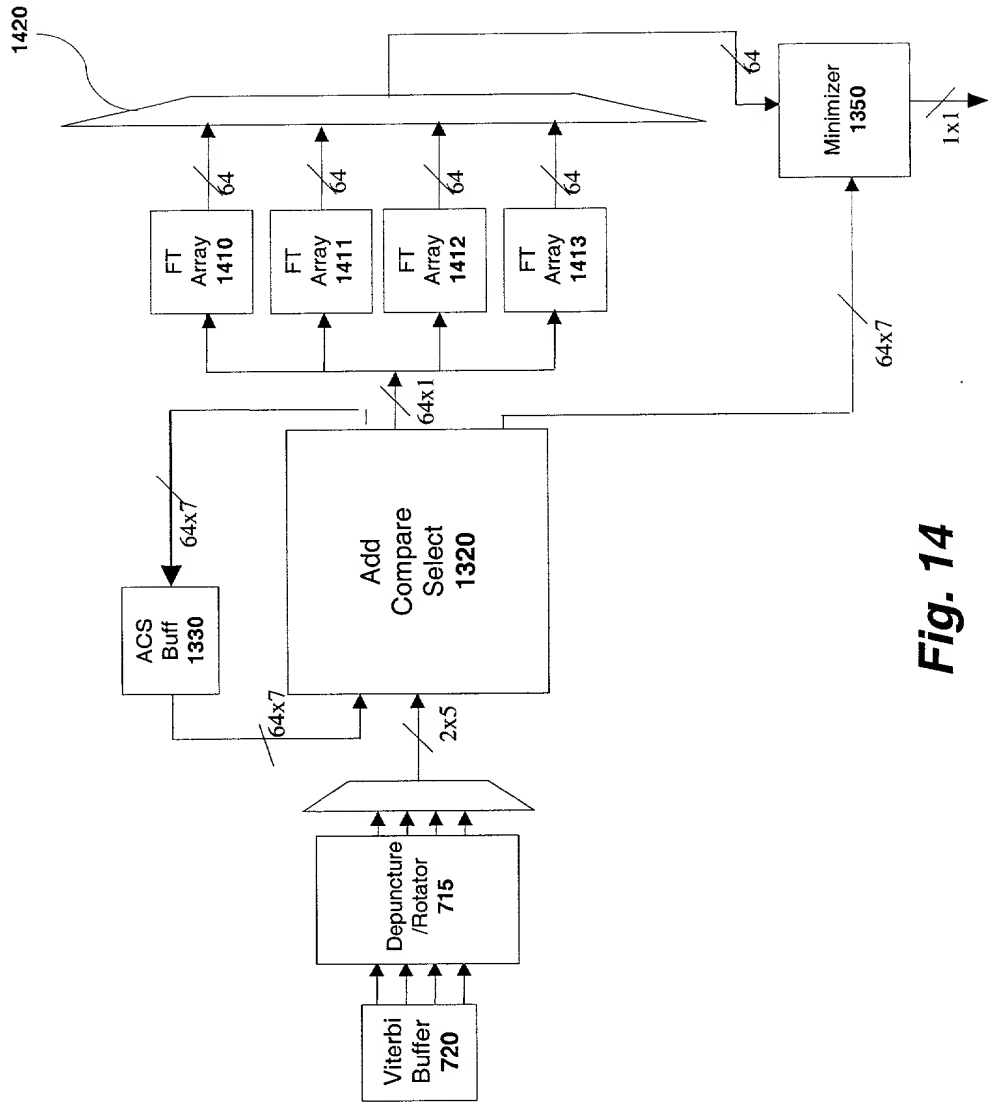
1330

1350

1320

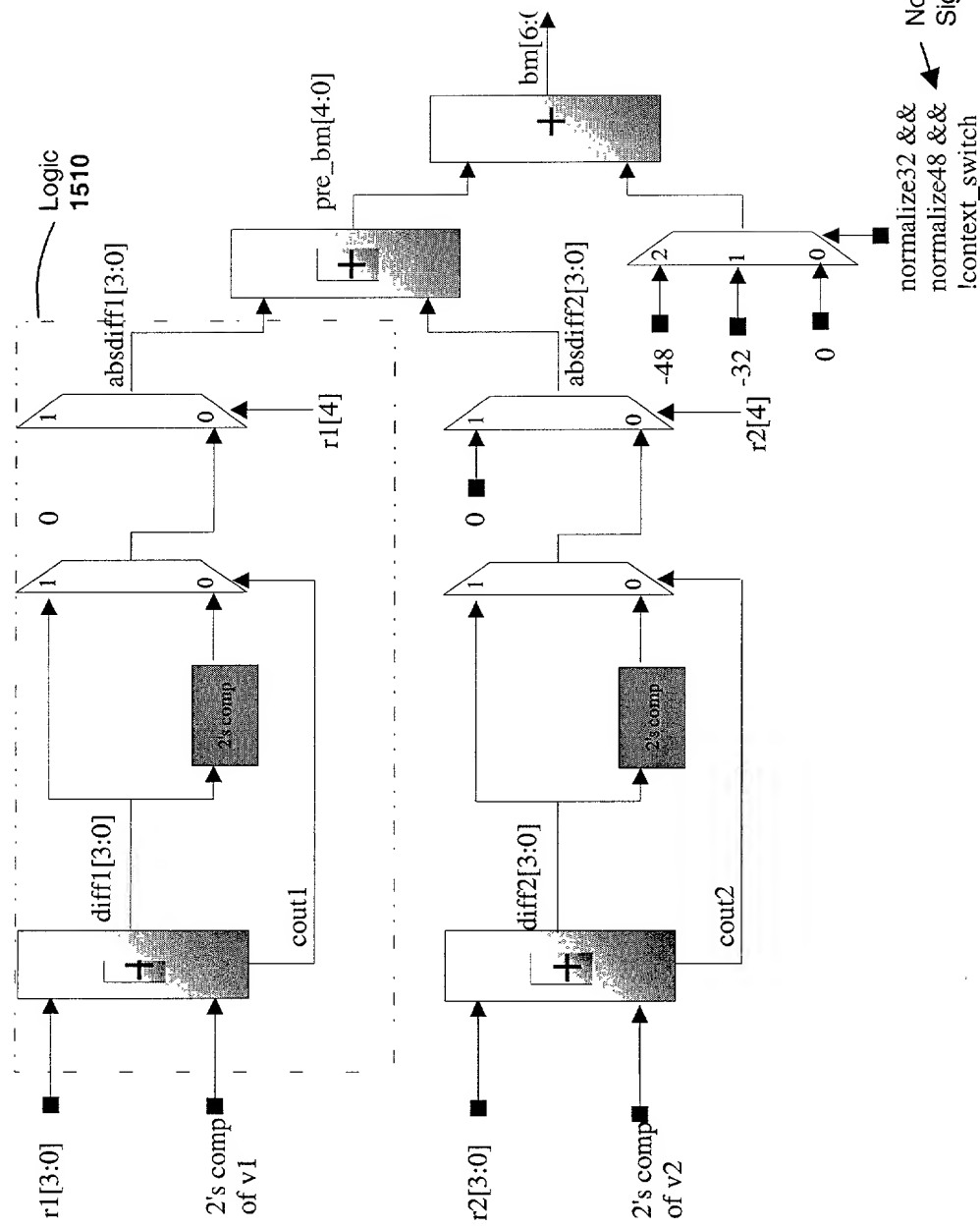
715

720

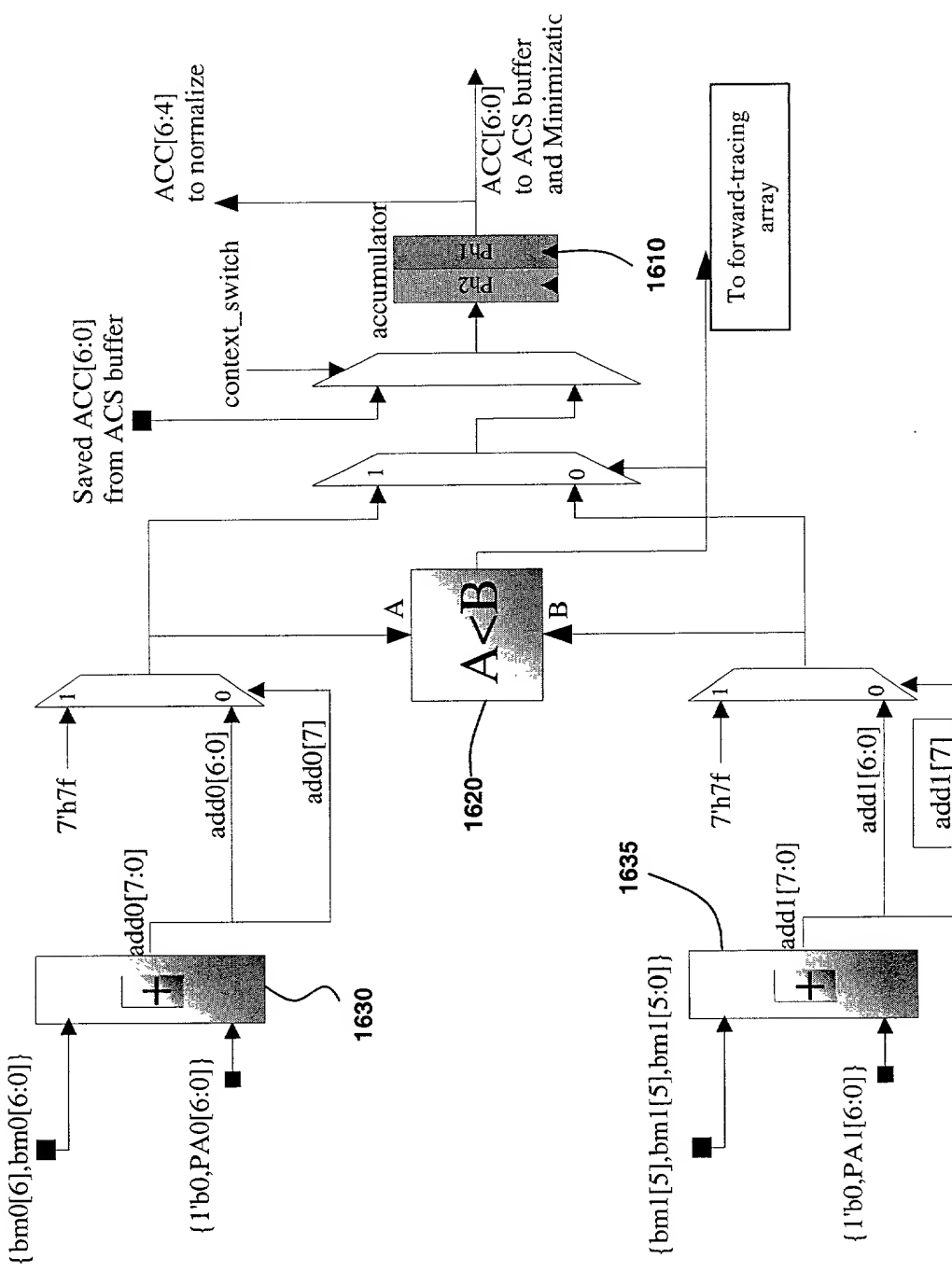


**Fig. 14**

sign diff absdiff sum sum

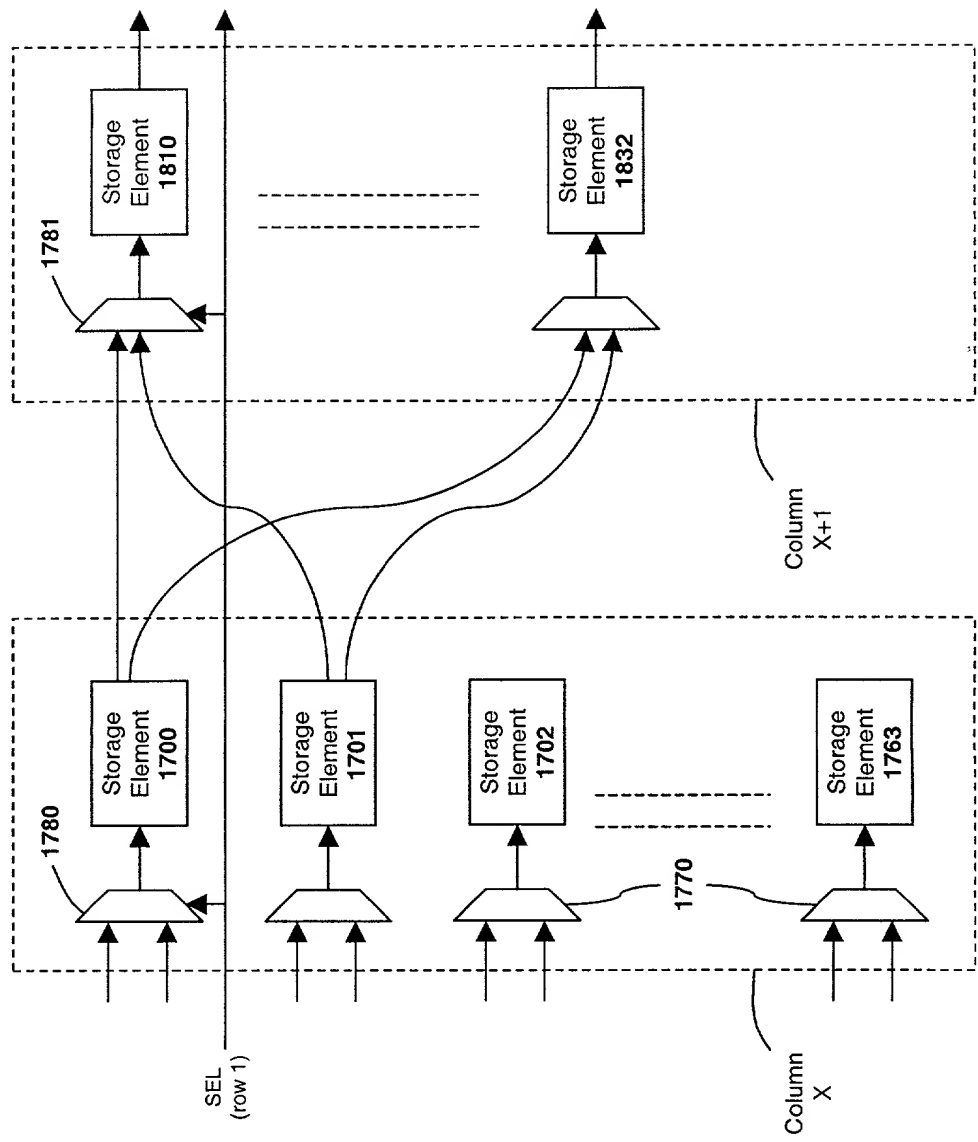


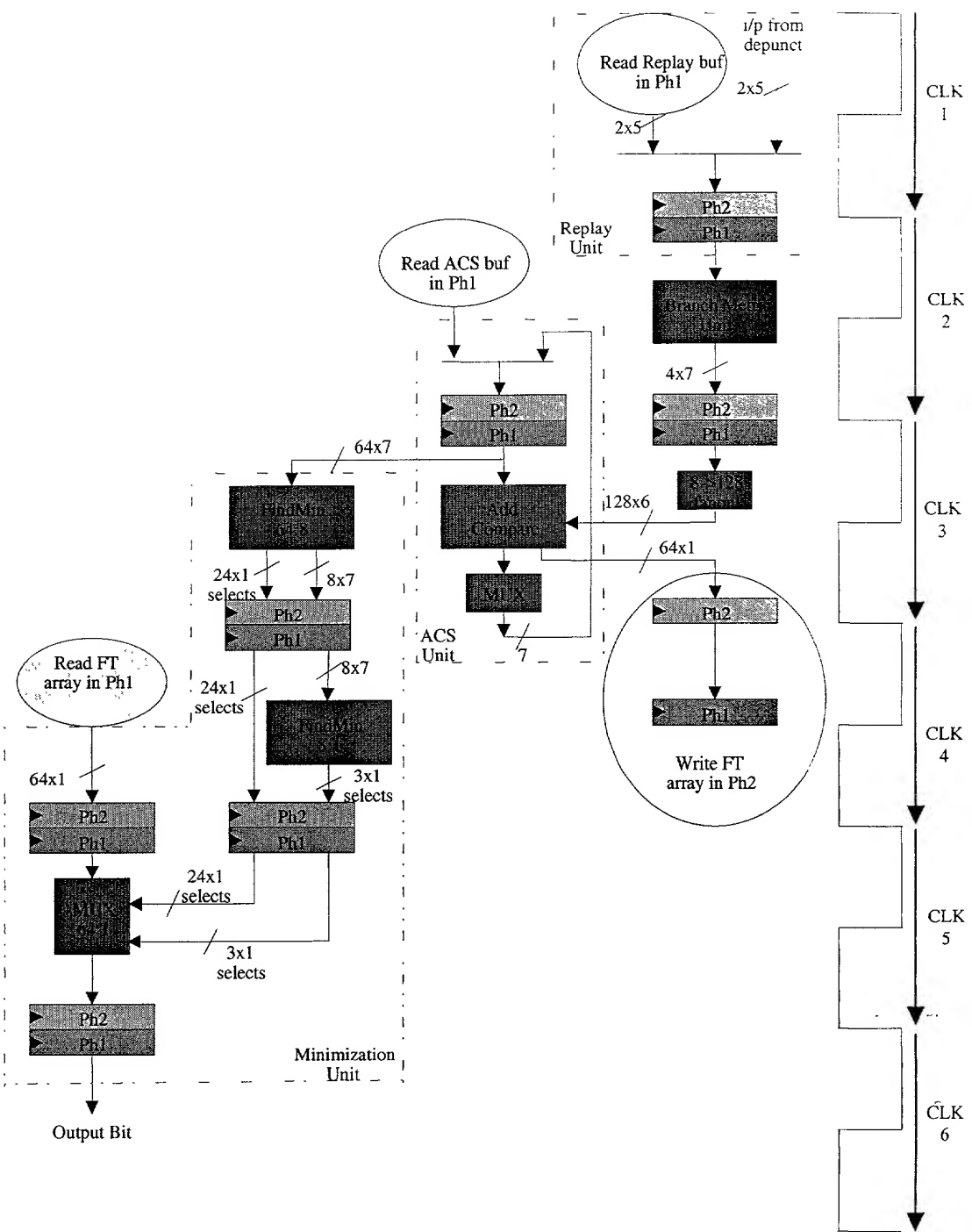
**Fig. 15**



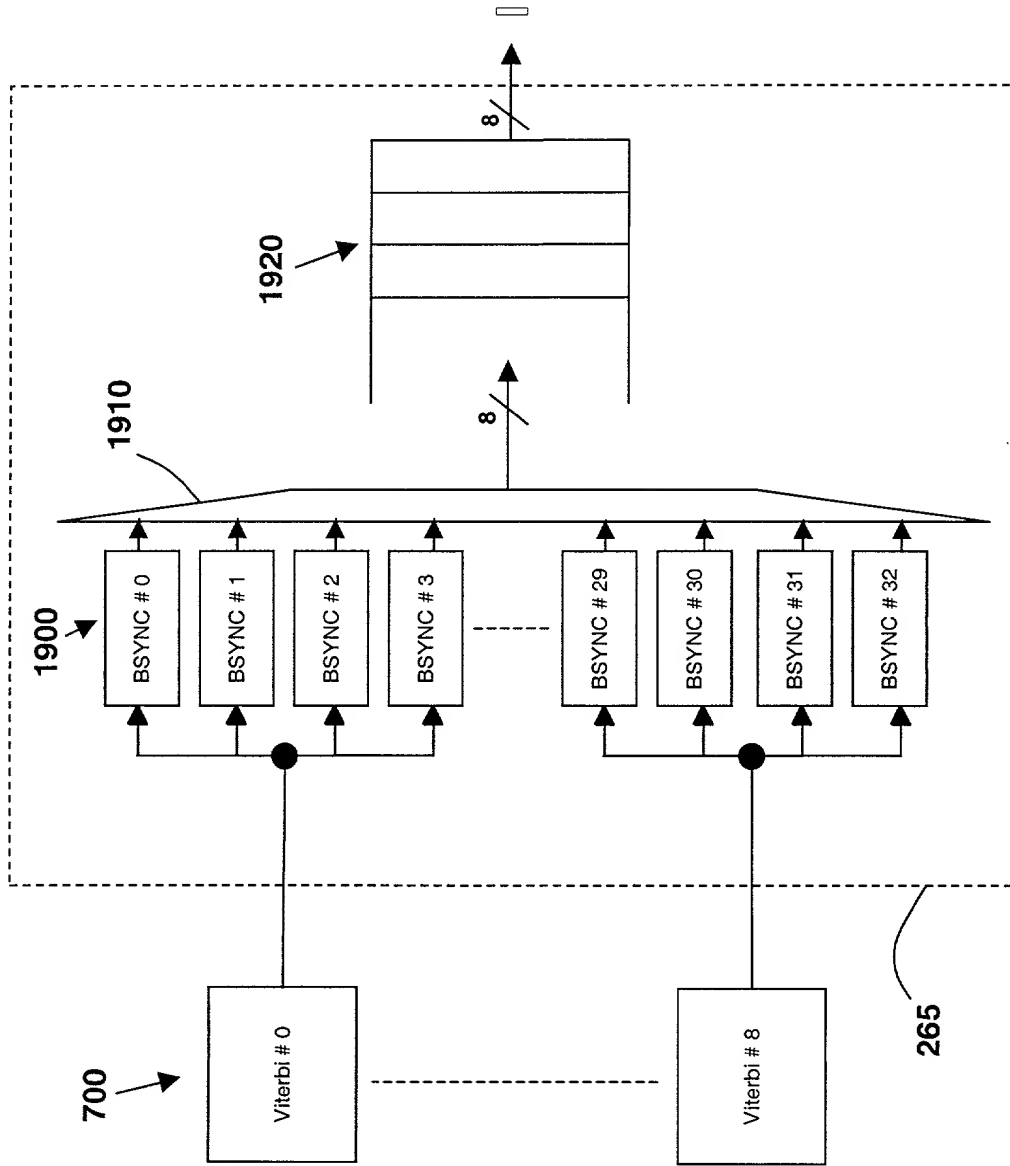
**Fig. 16**

**Fig. 17**



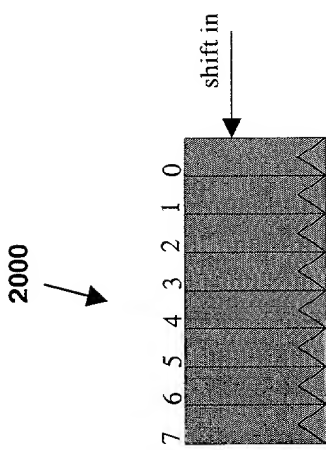


**Fig. 18**

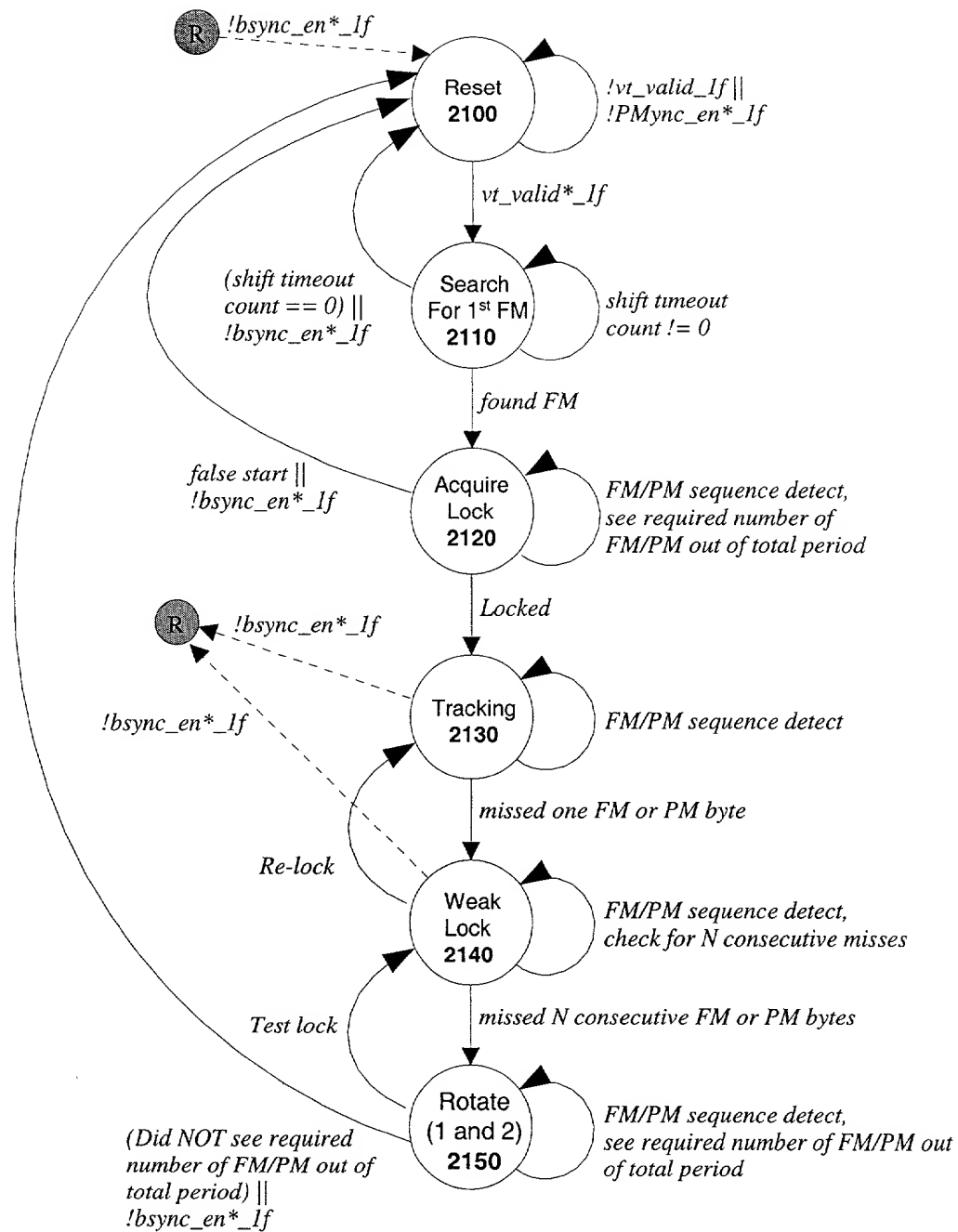


**Fig. 19**

2000

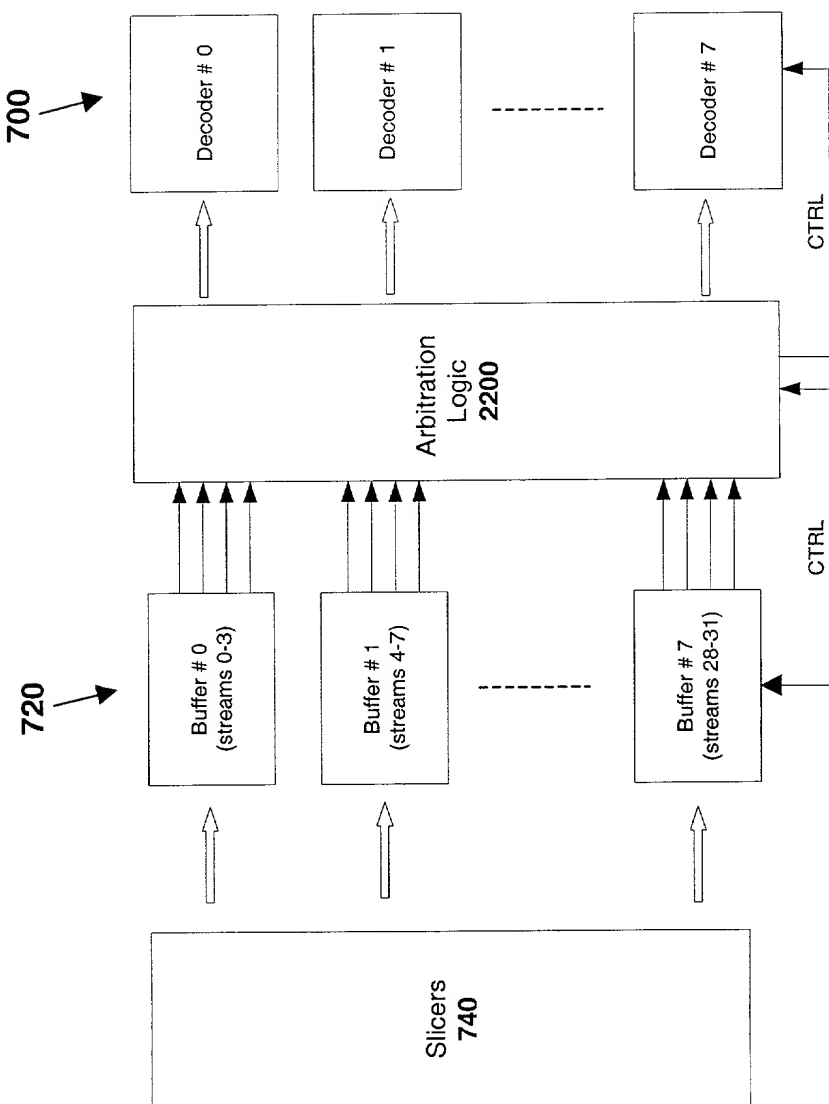


*Fig. 20*

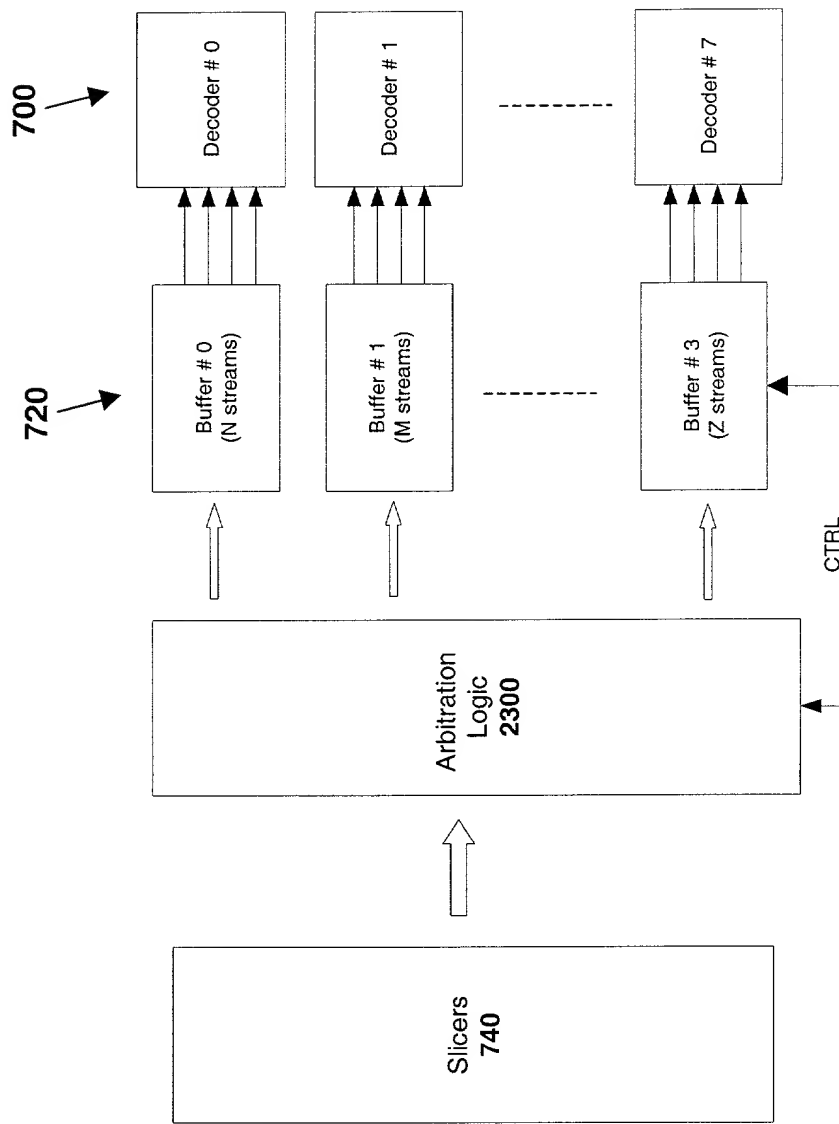


**Fig. 21**

**Fig. 22**

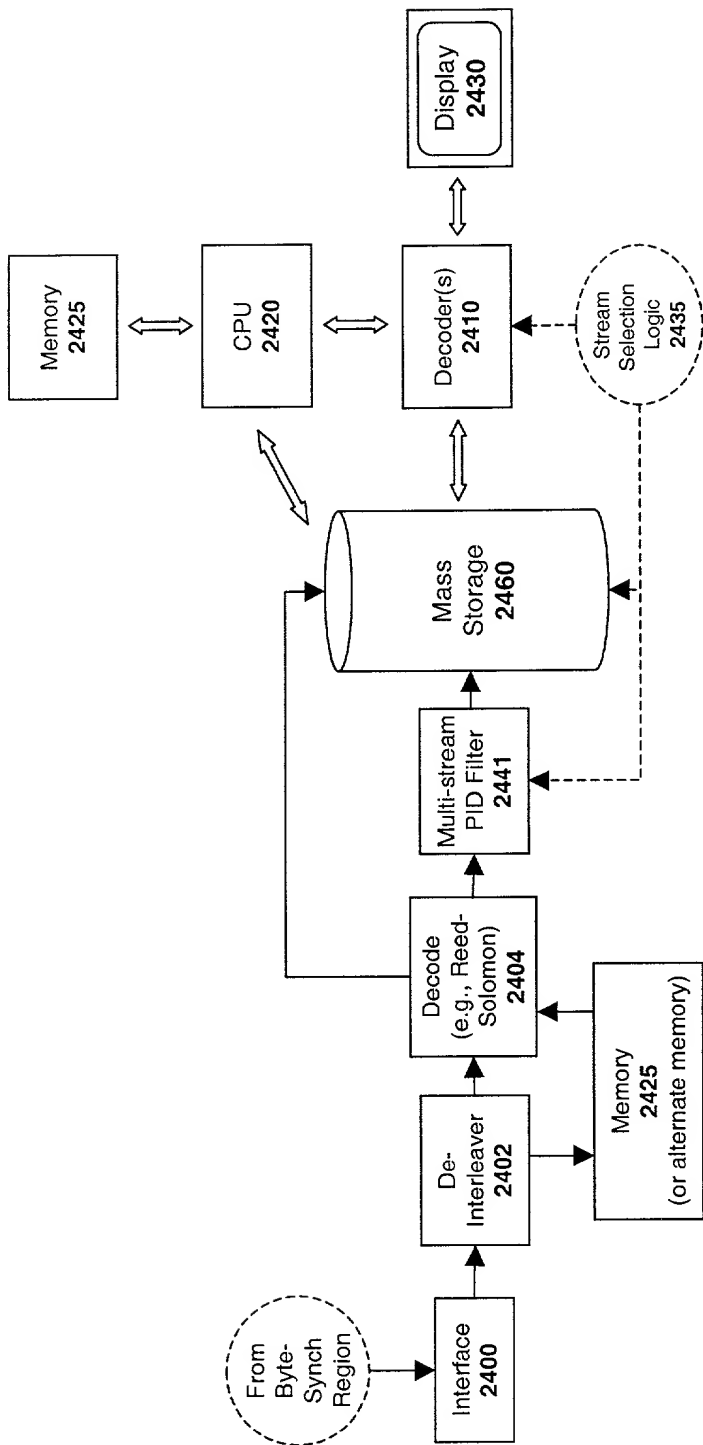


700  
720



**Fig. 23**

From Byte-Synch Region



**Fig. 24**